



Gorgan University of Agricultural  
Sciences and Natural Resources

## Extraction optimization of gel-forming proteins and collagen hydrolysate from whole lanternfish (*Benthosema pterotum*) with a biorefinery approach

Mohsen Kazemi<sup>1</sup>, Seyed Mahdi Ojagh \*<sup>2</sup>, Mehdi Abdollahi<sup>3</sup>, Alireza Alishahi<sup>4</sup>

- Dept. of Processing of Fishery Products, Faculty of Fisheries and Environmental Sciences, Gorgan University of Agricultural Sciences and Natural Resources, Gorgan, Iran. E-mail: [kazemi\\_mohsen@yahoo.com](mailto:kazemi_mohsen@yahoo.com)
- Corresponding Author, Associate Prof., Dept of Fisheries, Faculty of Natural Resources, University of Tehran, Karaj, Iran ,Dept of Seafood Processing, Faculty of Fisheries and Environmental Sciences, Gorgan University of Agricultural Sciences and Natural Resources, Gorgan, Iran. E-mail: [ojagh@ut.ac.ir](mailto:ojagh@ut.ac.ir)
- Dept. of Life Sciences-Food and Nutrition Science, Chalmers University of Technology, SE 412 96 Gothenburg, Sweden. E-mail: [abdollahi.mkh@gmail.com](mailto:abdollahi.mkh@gmail.com)
- Dept. of Processing of Fishery Products, Faculty of Fisheries and Environmental Sciences, Gorgan University of Agricultural Sciences and Natural Resources, Gorgan, Iran. E-mail: [seafood1144@yahoo.com](mailto:seafood1144@yahoo.com)

### Article Info

### ABSTRACT

**Article type:**

Full Length Research Paper

**Article history:**

Received: 01.23.2024

Revised: 02.10.2024

Accepted: 02.22.2024

**Keywords:**

Gel,  
Optimization,  
pH-shift,  
Protein,  
Ultrasonic

Here the advantages of employing a biorefinery approach in conjunction with optimization techniques were utilized to attain high overall process efficiency. Initially, an alkaline pH-shift process assisted by ultrasonic and its subsequent optimization were employed to maximize the extraction yield and whiteness index of muscle proteins isolated from lanternfish (*B. pterotum*). The optimal strategy was determined as follows: 6 mL g<sup>-1</sup>, pH<sub>1</sub> (solubilization) 11.5, 310 W, and pH<sub>2</sub> (precipitation) 5.8 with desirability of 0.84. Collagen hydrolysate was obtained from the connective tissue-containing sediment residue emerging during pH-shift process. The optimal isolated protein (OIP) was utilized to produce heat-set gels in combination with collagen hydrolysate. Breaking force and deformation of the OIP gel were measured at 123 (g) and 10.12 (mm) respectively. Collagen hydrolysate made breaking force (up to 2% w/w) and deformation (up to 10% w/w) improved and had positive effects on color characteristics (especially whiteness index) as well as water holding capacity. Hence, it can be concluded that the integration of a novel extraction technique such as ultrasonic with pH-shift process followed by optimization, as well as concurrent utilization of muscle and connective tissue proteins through a biorefinery approach; provides a significant advancement towards scaling up the extraction process.

Cite this article: Kazemi, Mohsen, Ojagh, Seyed Mahdi, Abdollahi, Mehdi, Alishahi, Alireza. 2024.

Extraction optimization of gel-forming proteins and collagen hydrolysate from whole lanternfish (*Benthosema pterotum*) with a biorefinery approach. *Journal of Utilization and Cultivation of Aquatics*, 13 (2), 157-175.



© The Author(s).

DOI: 10.22069/japu.2024.22197.1854

Publisher: Gorgan University of Agricultural Sciences and Natural Resources

## بهینه‌سازی استخراج پروتئین‌های تشکیل دهنده ژل و کلاژن هیدرولیز شده از فانوس‌ماهی گونه *Benthosema pterotum* با یک رویکرد بیوریفاینری

محسن کاظمی<sup>۱</sup>، سید مهدی اجاق<sup>\*</sup><sup>۲</sup>، مهدی عبدالهی<sup>۳</sup>، علیرضا عالیشاھی<sup>۴</sup>

۱. گروه فرآوری محصولات شیلاتی، دانشکده شیلات و محیط زیست، دانشگاه علوم کشاورزی و منابع طبیعی گرگان، گرگان، ایران.

رايانame: kazemi\_mohsen@yahoo.com

۲ نويسنده مسئول، گروه شیلات، دانشکده منابع طبیعی دانشگاه تهران ، کرج، ایران، دانشیار گروه فرآوری محصولات شیلاتی، دانشکده شیلات و محیط زیست، دانشگاه علوم کشاورزی و منابع طبیعی گرگان، گرگان، ایران. رايانame: ojagh@ut.ac.ir

۳. گروه بیولوژی و مهندسی زیستی - تغذیه و علوم غذایی، دانشگاه صنعتی چالدرم، سوئد. رايانame: abdollahi.mkh@gmail.com

۴. گروه فرآوری محصولات شیلاتی، دانشکده شیلات و محیط زیست، دانشگاه علوم کشاورزی و منابع طبیعی گرگان، گرگان، ایران.  
رايانame: seafood1144@yahoo.com

اطلاعات مقاله	چکیده
نوع مقاله: مقاله کامل علمی- پژوهشی	در این کار از مزایای استفاده همزمان از رویکرد بیوریفاینری و بهینه‌سازی برای دست‌یابی به کاری فرآیند کل مطلوب استفاده شد. ابتدا از فرآیند تغییر pH قلیایی کمک شده با التراسونیک و بهینه‌سازی آن بهمنظر کمک به بیشینه کردن درصد بازدهی استخراج و شاخص سفیدی پروتئین‌های عضله فانوس‌ماهی گونه <i>B. pterotum</i> استفاده شد. استراتژی بهینه انتخاب شده با مشخصات بدین شرح؛ نسبت حلال به جامد $g^{-1}$ ۶ ml pH ۱۱/۵ اتحلال ۱۱/۵، توان التراسونیک W ۳۱٪ و pH ترسیب ۵/۸ و با مطلوبیت ۸۴٪؛ بازدهی ۵۳ درصد و شاخص سفیدی ۷۶/۸۱ را ارائه کرد. از این پروتئین در ترکیب با کلاژن هیدرولیز شده در تهیه ژل‌های حرارتی استفاده شد. نتایج نشان داد ژل حاصل از پروتئین ایزوله نیروی شکست و تغییر شکل را به ترتیب در حدود ۱۲۳ g ۱۰/۱۲ و ۱۰/۱۲ میلی‌متر ارائه کرد. افزودن کلاژن هیدرولیز شده سبب بهبود نیروی شکست (تا سطح ۲ درصد وزنی/وزنی) و مقدار تغییر شکل ژل (تا سطح ۱۰ درصد وزنی/وزنی) شد. کلاژن هیدرولیز شده هم‌چنین تا حدودی بر ویژگی‌های رنگ و شاخص سفیدی و هم‌چنین بر ظرفیت نگهداری آب در ژل‌ها اثر مثبت داشت. بنابراین می‌توان عنوان کرد با اتخاذ یک تکنیک جدید استخراج مثل التراسونیک در کنار فرآیند تغییر pH و متعاقباً بهینه‌سازی آن و هم‌چنین استفاده از رویکرد بیوریفاینری بهمنظر استفاده همزمان از پروتئین‌های عضله و بافت پیوندی موجود در زیست‌توده ماهی؛ می‌توان گامی مهم در جهت حرکت به سمت scale-up (صنعتی کردن مقیاس تولید) کردن فرآیند برداشت.
تاریخ دریافت: ۱۴۰۲/۱۱/۰۳ تاریخ ویرایش: ۱۴۰۲/۱۱/۲۱ تاریخ پذیرش: ۱۴۰۲/۱۲/۰۳	واژه‌های کلیدی: التراسونیک، بهینه‌سازی، پروتئین، تغییر pH، ژل

استناد: کاظمی، محسن، اجاق، سید مهدی، عبدالهی، مهدی، عالیشاھی، علیرضا (۱۴۰۳). بهینه‌سازی استخراج پروتئین‌های تشکیل دهنده ژل و کلاژن هیدرولیز شده از فانوس‌ماهی گونه *Benthosema pterotum* با یک رویکرد بیوریفاینری. نشریه بهره‌برداری و پرورش آبزیان، ۱۳ (۲)، ۱۷۵-۱۵۷.

DOI: 10.22069/japu.2024.22197.1854



© نويسنده‌گان.

ناشر: دانشگاه علوم کشاورزی و منابع طبیعی گرگان

ذخایر ماهیان تجاری؛ بهره‌برداری از منابع تاکنون بهره‌برداری نشده، ترجیحاً از سطوح تغذیه‌ای پایین‌تر، مانند موجودات ناحیه مزوپلاژیک است (۱). فانوس‌ماهیان فون غالب (تشکیل‌دهنده بالغ بر ۷۰ درصد) از ماهیان ناحیه مزوپلاژیک در جهان هستند. اکثر فانوس‌ماهیان به‌دلیل وجود مقادیر بالای استر واکس در چربی بدن به عنوان غذای انسان قابل استفاده نیستند. درواقع کمتر از ۱۰ گونه از ۴۰۵ گونه میکتوفید خوارکی هستند. میکتوفیدها از نظر تغذیه و اقتصادی به‌واسطه تامین مواد اولیه برای صنایع پودر ماهی و هم‌چنین مصارف انسانی دارای اهمیت جهانی هستند (۵). در این رابطه بررسی‌های سازمان خواربار و کشاورزی ملل متحد (FAO) به وجود زیست‌توده عظیم و دست‌نخورده از گونه‌های مختلف خانواده فانوس‌ماهیان (Myctophidae) در آب‌های ایرانی دریای عمان اشاره دارد که بخش غالب آن مشتمل بر گونه *Benthosema pterotum* است (۶). *B. pterotum* که به نام کلی فانوس‌ماهی نیز شناخته می‌شود، یک نمونه از گونه‌های خوارکی با منشاء مزوپلاژیک و بزرگ‌ترین ذخیره میکتوفیده در دریای عمان (بر طبق آمار فائو در سال ۲۰۰۷) و دریای چین شرقی است. این ماهی به عنوان زیست‌توده غنی از مواد مغذی (منبع خوبی از پروتئین‌ها، چربی‌ها و مواد معدنی) به‌طور سنتی به عنوان صید جانبی تلقی شده و اغلب برای تولید پودر ماهی و روغن کمارزش در خوراک دام استفاده می‌شود (۵، ۶، ۷). با این وجود، فانوس‌ماهیان به عنوان یک ماده خام اولیه ارزان، در دسترس و با کیفیت تغذیه‌ای مناسب می‌توانند علاوه‌بر پودر ماهی، از طریق اعمال روش‌های مناسب آماده‌سازی و فرآوری، در تغذیه انسانی نیز مورد استفاده قرار گیرند (۸). انحلال قلیایی و یا اسیدی پروتئین‌ها و در ادامه ترسیب در ناحیه ایزوکلریک باهدف جداسازی انتخابی پروتئین‌ها از مواد خام؛ فرآیندی اصطلاحاً موسوم به پروسه pH-shift (تغییر

## مقدمه

بر اساس پیش‌بینی‌ها جمعیت جهان تا سال ۲۰۵۰ به ۹/۶ میلیارد نفر افزایش خواهد یافت، که سبب ایجاد ضرورت برای افزایش تولید جهانی غذا تا ۶۰ درصد می‌شود (۱). در این رابطه غذاهای دریایی به‌دلیل کیفیت تغذیه‌ای مناسب، پتانسیل بالای برای کمک به امنیت جهانی غذا دارند. غذاهای دریایی منابع غنی تغذیه‌ای و بهویژه سرشار از پروتئین و اسیدهای چرب امگا-۳ هستند. این غذاها هم‌چنین منبع خوبی از چندین ویتامین و مواد معدنی حیاتی از جمله ویتامین A، ویتامین B<sub>12</sub>، ویتامین D، کلسیم، ید، سلنیوم و روی می‌باشند (۲). ماهی منبع مهم پروتئین برای بسیاری از مردم در سراسر جهان است و حدود ۲۰ درصد از مصرف پروتئین حیوانی جهانی و تقریباً ۷ درصد از کل پروتئین مصرفی انسان را تشکیل می‌دهد اما صید بیش از حد ذخایر ماهیان تجاری هم‌چنان یک مشکل رو به رشد است. طبق گزارش سازمان خواربار و کشاورزی ملل متحد (FAO)، تقریباً ۹۰ درصد از ذخایر ماهیان تجاری در سطح جهانی بیش از حد صید شده‌اند و این بدان معناست که این ذخایر بسیار سریع‌تر از قابلیت بازسازی صید می‌شوند. این امر بر اکوسیستم دریایی و جوامع ساحلی که به ماهیگیری وابسته هستند تأثیر منفی می‌گذارد (۱، ۳). علاوه بر این؛ افزایش تقاضا برای فرآورده‌های حاصل از آبریان در اثر تبلیغات پیرامون اثر سلامت بخش آن‌ها در سال‌های اخیر و تقاضای مداوم برای منابع جایگزین پروتئین و روغن برای آبزی‌پروری به دلیل کاهش عرضه منابع تجاری؛ افزایش توجه روزافزون به استفاده از منابع کم‌صرف و ارزان‌قیمت دریایی مانند محصولات جنبی بر جای مانده از خط تولید، ماهیان سطح‌زی کوچک چرب، گونه‌های ناحیه مزوپلاژیک و هم‌چنین منابع حاصل از صید ضمئی را سبب شده‌است (۱، ۴). یکی از گزینه‌های پیشنهاد شده برای کاهش فشار بر

را افزایش می‌دهند (۲۱، ۲۰، ۱۹). بهینه‌سازی به ارتقا عملکرد یک سیستم، فرآیند یا محصول باهدف دستیابی به بیشترین فایده از آن اشاره دارد. واژه بهینه‌سازی در شیمی تجزیه معمولاً به عنوان یک ابزار برای کشف شرایطی در یک فرآیند است که اعمال آن بهترین پاسخ ممکن را به دست می‌دهد (۲۲). روش سطح پاسخ (RSM) یک تکنیک طراحی آزمایش آماری است که برای تجزیه و تحلیل سیستماتیک اثر پارامترهای مستقل (مثل زمان، دما، pH، نسبت مایع به جامد و...) بر پارامترهای وابسته (مثل بازدهی استخراج) و برهمکنش‌های آن‌ها باهدف بهینه‌سازی فرآیندهای پیچیده استفاده می‌شود. مزیت اصلی RSM کاهش تعداد آزمایش‌های عملی مورد نیاز برای مدیریت پارامترهای مختلف و تعامل آن‌ها، تسهیل ترتیب آزمایش‌ها و تفسیر نتایج است (۲۳).

بنابر مطالب عنوان شده و همچنین عدم وجود کار پژوهش‌هایی در حوزه استفاده هم‌زمان از فرآیند تغییر pH قلیایی و التراسونیک در استخراج پروتئین از این گونه؛ نخست فرآیند استخراج ترکیبی از طریق روش سطح پاسخ بهینه‌سازی شد. در مرحله بعد کلژن هیدرولیز شده با پیسین از باقی‌ماندهای حاصل از مرحله اول سانترفیوژ فرآیند تغییر pH تهیه شد. در نهایت ژلهای حرارتی با استفاده از ایزووله پروتئین قلیایی در ترکیب با کلژن هیدرولیز شده تهیه و خواص بافت، رنگ و ظرفیت نگهداری آب آن‌ها مورد بررسی قرار گرفت.

### مواد و روش‌ها

تهیه و آماده‌سازی نمونه ماهی و سایر مواد مورد نیاز پژوهش: طی دو روز پس از صید، بلوک‌های منجمد (هر کدام حدود ۱۲ کیلوگرم) فانوس‌ماهیان (B. pterotum) از کشتی صید تراک کاویان در ساحل بندرعباس تهیه شدند. این بلوک‌ها (به صورت پوشیده شده با یخ خشک) با هوایپما به آزمایشگاه

pH؛ به عنوان یک تکنیک نویددهنده و امیدبخش درجهت بازیابی پروتئین‌های عضله از مواد خام دریابی پیچیده، مانند ماهیان تیره‌گوشت چرب کامل و تخلیه‌شکمی شده، محصولات برجای مانده از خط تولید آبزیان، صدف‌های آبی و کریل شناخته شده است (۹). این تکنیک از زمان اختراع آن (هالتن و کلر در سال ۱۹۹۹) به طور موفقیت‌آمیز برای استخراج پروتئین از مواد خام خاص و پیچیده‌ای از جمله ماهی‌های کوچک سطح‌زی چرب کامل و تخلیه‌شکمی شده (۱۰، ۱۱، ۱۲)، فرآورده‌های جانبی برجای مانده از خط فرآوری انواع ماهیان (۱۳، ۱۴، ۱۵، ۱۶)، و تخم ماهی (۱۷، ۱۸) مورد استفاده قرار گرفته است. هنگام استفاده از فرآیند تغییر pH عواملی مانند نوع گونه ماهی، کیفیت مواد خام، ورژن فرآیند (اسیدی یا قلیایی) و استراتژی‌های اصلاحی (در صورت به کارگیری) مورد استفاده تأثیرات قابل توجه بر بازده استخراج، ترکیب شیمیایی و ویژگی‌های ساختاری دارند که این عوامل در ویژگی‌های عملکردی و ظاهر پروتئین‌ها سبب ایجاد تغییرات می‌شود. تکنیک التراسونیک به خصوص در مواردی که بازدهی به خطر می‌افتد می‌تواند مفید باشد. کارایی استخراج با کمک امواج اولتراسونیک به عنوان یک روش جایگزین برای بازیابی ترکیبات زیستی به طور گسترش مورد ارزیابی قرار گرفته است. این روش از اثر کاویتانسیون (جوشش سیال در اثر افت فشار نه افزایش دما) ناشی از تشکیل حفره‌های صوتی در حلال و فروپاشی میکروجباب‌های نامتقارن استفاده می‌کند. این پدیده مقدار زیادی انرژی آزاد کرده و سبب تولید ریز جث‌ها، امواج ضربه‌ای و نیروی برشی بالا می‌شود. نیروهای هیدرودینامیکی ایجاد شده با تأثیر مثبت بر روند فروپاشی دیواره سلول، انتقال جرم بین فازهای غیرقابل اختلاط، افزایش نفوذ حلال و بهبود اثرات مویینگی و همچنین کاهش اندازه ذرات کارایی فرآیند و بازدهی استخراج

تمکیل فرآیند رسوب)، با نیروی گریز از مرکز ۸۵۰۰ g به مدت ۲۰ دقیقه در دمای ۴ درجه سلسیوس سانتریفیوژ شد تا پروتئین‌های رسوب کرده آبگیری شوند. در حالت کمک‌شده با امواج التراسونیک؛ پس از مخلوط کردن کردن نمونه‌ها و تنظیم pH: همگن‌سازی به مدت ۱۰ دقیقه با امواج فرا صوت (۲۰ کیلوهرتز) با حالت پالس ثابت ۵ ثانیه روشن و ۵ ثانیه خاموش تحت تیمار قرار گرفتند. با هدف پیشگیری از گرم شدن موضعی که می‌تواند بر ساختار پروتئین تأثیر منفی بگذارد از حمام یخ طی همگن‌سازی التراتوراکس و التراسونیک استفاده شد. پس از طی مراحل بعدی مثل حالت سکون در دمای ۴ درجه سلسیوس، سانتریفیوژ و جداسازی لایه میانی؛ پروتئین‌ها با تنظیم pH در ناحیه ایزوالکتریک و سانتریفیوژ متعاقب همان‌طور که قبلًا توضیح داده شد بازیابی و استحصال شدند. pH پروتئین‌های استخراج شده با استفاده از محلول NaOH سرد (۲ نرمال) در ۷ تنظیم شده و پس از افزودن محافظه‌ای سرمایی (۴ درصد (وزنی/وزنی) ساکارز و ۴ درصد (وزنی/وزنی) سوربیتول بر مبنای رطوبت ۸۰ درصد در پروتئین‌ها) تا زمان استفاده در دمای منفی ۸۰ درجه سلسیوس نگهداری شدند. از رابطه ۱ برای محاسبه بازدهی استخراج استفاده شد:

$$TY(\%) = \frac{W \text{ of RPI}(g)}{W \text{ of } M(g)} \times 100$$

(۱۲/۵ تا ۱۰/۵) X<sub>2</sub>)، توان دستگاه التراسونیک (X<sub>3</sub>) ۱۰۰ تا ۴۰۰ وات) و pH ترسیب (X<sub>4</sub>) ۶ تا ۴ بر متغیرهای پاسخ شامل بازده کل استخراج (درصد) و شاخص سفیدی با استفاده از روش RSM و توسط نرم‌افزار Design-Expert نسخه ۱۱، تجزیه و تحلیل شدند. محدوده تجربی برای متغیرها براساس

فرآوری آبیزیان دانشگاه علوم کشاورزی و منابع طبیعی گرگان منتقل شده و تا زمان استفاده در دمای -۸۰ درجه سلسیوس نگهداری شدند. دیگر مواد شیمیایی استفاده شده در این پژوهش از گرید آزمایشی و دارای خلوص مناسب بودند.

**استخراج پروتئین با روش تغییر pH قلیایی کمک شده با التراسونیک:** نمونه‌های ماهی پس از ورود به آزمایشگاه؛ ابتدا با آب آشامیدنی شسته و انجماد زدایی شده و سپس با استفاده از یک چرخ گوشت رومیزی چرخ شدند. فرآیند اصلی استخراج طبق روش آندلند و همکاران (۲۴) صورت پذیرفت. ابتدا گوشت چرخ شده ماهی با آب مقطر سرد به مدت ۱ دقیقه با سرعت ۱۱۰۰۰ دور در دقیقه همگن شد IKA T25 Digital ULTRA-TURRAX (Disperser). محلول حاصل به بخش‌های مورد نیاز تقسیم شده و pH آن‌ها با استفاده از HCl و NaOH (۰/۰ و ۲ نرمال) در نقطه مدنظر تعیین شد. پس از نگهداری به مدت ۱۰ دقیقه در دمای ۴ درجه سلسیوس؛ نمونه‌ها در سانتریفیوژ از پیش سرد شده (۴ درجه سلسیوس) (Eppendorf 5810R Refrigerated Centrifuge) به مدت ۲۰ دقیقه با نیروی گریز از مرکز ۸۵۰۰ g سانتریفیوژ شدند. در مرحله بعد، pH نمونه‌ها در pH ایزوالکتریک تنظیم شدند و پس از ۱۰ دقیقه نگهداری در دمای ۴ درجه سلسیوس (با هدف

(۱)

\* وزن‌های (W) گوشت چرخ شده (M) و ایزوله‌های پروتئینی استخراج شده (RPI) در سطح رطوبت برابر. بهینه‌سازی فرآیند تغییر pH قلیایی کمک شده با امواج التراسونیک: برای تعیین شرایط بهینه فرآیند استخراج؛ اثر چهار متغیر مستقل شامل نسبت مایع به جامد (X<sub>1</sub>) ۵ تا ۸ میلی‌لیتر بر گرم، pH انحلال

چندجمله‌ای درجه دوم (معادله ۲) اصلاح شده (براساس تأثیر رگرسورها بر شاخص‌های بستگی مدل) برآش شدند تا یک رابطه بین آن‌ها به شرح زیر برقرار شود:

$$Y = \beta_0 + \sum_{i=1}^4 \beta_i x_i + \sum_{i=1}^4 \beta_{ii} x_i^2 + \sum_{i < j=1}^4 \beta_{ij} x_i x_j \quad (2)$$

در pH ۲ و دمای ۳۷ درجه سلسیوس به مدت ۳ ساعت انجام شد. pH محلول واکنش به طور مرتب چک شد و در صورت لزوم با افزودن HCl ۱ مولار در سطح ۲ ثابت نگهداشته شد. در پایان واکنش هیدرولیز با حرارت دادن مخلوط در دمای ۹۰ درجه سلسیوس به مدت ۱۵ دقیقه متوقف شده و در ادامه به مدت ۳۰ دقیقه در ظرف حاوی مخلوط آب و یخ سرد شد. محلول به مدت ۲۰ دقیقه در دمای ۴ درجه سلسیوس و در دور ۵۰۰۰ g سانتریفیوژ شد و سوپرناتانت حاوی کلاژن هیدرولیز شده خشک انجامدی شده و در دمای منفی ۲۰ ذخیره‌سازی شد. میزان درجه هیدرولیز در طول فرآیند و قبل از خشک کردن و درصد بازدهی پس خشک کردن کلاژن هیدرولیز شده به روش عبدالهی و همکاران (۲۵) محاسبه شدند. آماده‌سازی ژل: جهت تهیه ژل برپایه ایزووله پروتئین از روش چایجان و همکاران (۲۶) استفاده شد. ابتدا نمونه‌های منجمد به مدت ۷ ساعت در دمای ۴ درجه سلسیوس انجام‌داده شدند. درگام بعد نمونه‌ها به قطعات کوچک ریز شده؛ در یک همزن مولینکس (Moulinex, France) برای مدت ۱ دقیقه مخلوط شده؛ و سپس رطوبت آن‌ها از طریق افزودن یخ در حال ذوب شدن به ۸۰ درصد رسانده شد. به‌منظور انحلال پروتئین؛ میزان ۲ درصد نمک اضافه و همzendن به مدت ۲ دقیقه ادامه یافت. سپس نمونه‌ها به درون

ارزیابی‌های پیشین تعیین شد. طرح باکس-بنکن دیزاین (Box-Behnken (BBD)) در سه سطح و با ترتیب تصادفی برای بهینه‌سازی شرایط استخراج اجرا شد. برطبق نتایج حاصل از آزمایش‌های عملی، متغیرهای مستقل و پاسخ توسط یک مدل

در اینجا، Y متغیر پاسخ پیش‌بینی شده توسط مدل است،  $x_i$  و  $X_j$  متغیرهای مستقل را نشان می‌دهند و  $\beta_0$ ،  $\beta_i$  و  $\beta_{ij}$  به ترتیب ضرایب رگرسیون رگرسورهای ثابت، خطی، درجه دوم و برهمکنش هستند.

**تهیه کلاژن هیدرولیز شده از باقیمانده‌های فرآیند تغییر pH:** باقیمانده فرآیند تغییر pH فانوس‌ماهی حاوی استخوان، پوست، بافت پیوندی و سایر ترکیبات غیرمحلول طبق روش (۲۵) تحت فرآیند استخراج کلاژن هیدرولیز شده قرار گرفتند. باهدف حذف پروتئین‌های غیرکلاژنی؛ باقیمانده‌ها ابتدا در محلول ۱/۰ نرمال NaOH با نسبت ۱ به ۶ غوطه‌ور شده و به مدت ۶ ساعت هم‌زده شدند (محلول هر ۳ ساعت تعویض شد). باقیمانده‌ی تیمارشده تا رسیدن به pH خشی با آب سرد شسته شده و سپس جهت حذف مواد معدنی؛ به مدت ۴۸ ساعت در محلول ۰/۵ مولار EDTA با pH ۷/۴ با نسبت ۱ به ۱۰ (وزن به حجم) غوطه‌ور و تحت شرایط هم‌زدن مداوم قرار گرفت. محلول EDTA هر ۱۲ ساعت یکبار تعویض شد. در پایان محتوای پروتئین باقیمانده‌ها ارزیابی شد.

در مرحله بعد باقیمانده‌ها آب دیونیزه با نسبت ۱ به ۵ (bacیمانده: آب) ترکیب شده و فرآیند هیدرولیز با افزودن پیسین (۱ درصد وزنی بر مبنای پروتئین)

یافت. درنهایت از سول حاصل جهت تهیه ژل مطابق روش توضیح داده شده در بالا از طریق پخت یک مرحله‌ای در دمای ۹۰ درجه سلسیوس به مدت ۱۵ دقیقه استفاده شد.

**سنجدش رنگ ژل:** شاخص‌های رنگ سطحی نمونه‌های پروتئین به‌وسیله یک دستگاه رنگ‌سنجد (کالریمتر) (BYK Gardner, USA) ارزیابی شدند. مقادیر روشانی (L\*), سبز- قرمزی (a\*) و آبی- زردی (b\*) بر اساس سیستم فضای رنگی CIELAB ثبت شدند. شاخص‌های مورد نظر در سه نقطه از ژل سنجدش و شاخص سفیدی به کمک رابطه ۳ محاسبه گردید.

لوله‌های استیل ضد زنگ با قطر ۱/۵ سانتی وارد و دو طرف آن‌ها محکم بسته و درزبندی شد. پس از پخت در دمای ۹۰ درجه سلسیوس به مدت ۱۵ دقیقه (تهیه ژل حرارتی تک مرحله‌ای)؛ فرآیند پخت با انتقال سریع استوانه‌ها به ظرف حاوی یخ انجام شد. پس از ۳۰ دقیقه نگهداری در یخ نمونه‌ها خارج و باهدف آماده‌سازی مقدم بر انجام آنالیزها؛ ۲۴ ساعت در دمای ۴ درجه سلسیوس نگهداری شدند.

به‌منظور بررسی اثر افروden کلاژن هیدرولیز شده بر ژل تولیدی؛ پس از طی مراحل انجماد زدایی، خرد کردن، تنظیم رطوبت و افروden نمک؛ پودر کلاژن هیدرولیز شده (از قبل به رطوبت ۸۰ درصد رسانده شده) به سول پروتئینی حاوی رطوبت ۸۰ درصد اضافه شده و فرآیند با ۵ دقیقه مخلوط کردن ادامه

$$WI = 100 - \sqrt{(100 - L^*)^2 + a^{*2} + b^{*2}} \quad (3)$$

آزمون از یخچال خارج و به صورت سیلندری شکل با ارتفاع ۱/۵ سانتی‌متر آماده‌سازی شدند. انجام آزمون TPA با پروب مسطح به قطر ۴۰ میلی‌متر انجام شد که طی آن ژل در دو مرحله با سرعت ۶۰ میلی‌متر در دقیقه به میزان ۵۰ درصد ارتفاع اولیه فشرده گردید. به کمک نتایج حاصل از این بخش؛ شاخص استحکام ژل محاسبه و گزارش گردید. جهت محاسبه قدرت ژل؛ نمونه‌های ژل با قطر و ارتفاع ۱/۵ سانتی‌متر استفاده شد. در این رابطه آزمون نفوذ جهت سنجدش نیروی شکست و میزان تغییر شکل نمونه‌ها به کمک یک پروب کروی به قطر ۵ میلی‌متر تا نقطه شکست ژل‌ها انجام شد. این تست سرعت حرکت پروب ۶۰ میلی‌متر در دقیقه تنظیم شده و حداقل نیرو در لحظه نفوذ به عنوان نیروی شکست (گرم) و میزان تغییر ارتفاع به عنوان شاخص تغییر شکل (میلی‌متر) در نظر گرفته شد.

**سنجدش ظرفیت نگهداری آب ژل:** ظرفیت نگهداری آب مطابق روش کاردوسو و همکاران (۲۷) اندازه‌گیری شد. نمونه ریز شده ژل (۲ گرم) در دو لایه کاغذ صافی و اتمن شماره ۱ (وزن شده) پیچیده و در یک لوله سانتریفیوژ قرار داده شد. در گام بعدی نمونه با سرعت g ۳۰۰۰ برای مدت ۱۰ دقیقه در دمای ۲۰ درجه سلسیوس سانتریفیوژ شد. پس از سانتریفیوژ نمونه جدا شده و کاغذ صافی مجدداً تو زین شد. در نهایت ظرفیت نگهداری آب محاسبه شده و بر حسب گرم آب در نمونه پس از سانتریفیوژ در ۱۰۰ گرم آب اولیه موجود در نمونه بیان گردید.

**تجزیه تحلیل پروفایل بافت:** خواص بافتی ژل‌های Swiss تولید شده به کمک دستگاه آنالیز بافت (TexVol) و از طریق انجام آزمون تجزیه و تحلیل پروفیل بافت (TPA) در دمای محیط ارزیابی گردید. به همین منظور نمونه‌های ژل دو ساعت قبل از انجام

تحت تأثیر استراتژی‌های مختلف، بازده استخراج پروتئین از ۳۶/۷۶ تا ۵۵/۱۳ درصد متغیر بود. رنج تغییرات برای شاخص سفیدی بین ۶۶/۷۳ تا ۷۸/۳۸ قرار داشت. در مرحله بعد نتایج تجزیه و تحلیل شد و مدل پیش‌بینی‌کننده درجه دوم براساس تحلیل رگرسیون خطی چندگانه به دست آمد. لازم به ذکر است که از مدل اصلاح شده بر مبنای اثرات رگرسورها بر شاخص‌های توان و بستگی مدل شامل  $R^2$ ، Predicted  $R^2$  و Adjusted  $R^2$  استفاده شد. برای تعیین ضرایب رگرسیون از روش حداقل مربعات استفاده شد. معادله‌های چندجمله‌ای مرتبه دوم شماره ۴ و ۵ به عنوان بهترین مدل‌های فیت‌کننده به شرح زیر به ترتیب برای پاسخ‌های درصد بازدهی کل و شاخص سفیدی انتخاب شدند:

$$Y = 47.21 + 1.22X_1 + 4.37X_2 - 2.18X_3 + 5.15X_4 - 1.40X_1X_3 - 1.58X_2^2 - 1.69X_3^2 \quad (4)$$

(5)

$$Y = 76.36 + 1.11X_1 - 0.09X_2 - 1.29X_3 + 3.10X_4 - 1.43X_1X_3 - 2.69X_3X_4 - 1.38X_1^2 - 2.89X_2^2 - 1.09X_3^2 - 1.76X_4^2$$

برای پاسخ درصد بازدهی کل نمرات بهتری از شاخص سفیدی نشان دادند اما در مجموع این نمرات برای هردو پاسخ در سطح قابل قبول قرار داشتند. نتایج مرتبط با سطح معنی‌داری ترم‌های رگرسیون نیز در جدول ۱ قابل مشاهده است. باهدف دست‌یابی به ساده‌ترین مدل سعی شد از رگرسورهای فاقد اثر معنی‌دار صرف‌نظر شود مگر در صورت اثبات اثر مثبت آن‌ها بر شاخص‌های توان و بستگی مدل. در رابطه با درصد بازدهی کل؛ اثر تمام رگرسورهای اصلی در مدل معنی‌دار بود. عوامل برهمکنش هیچ‌کدام اثر معنی‌دار در مدل نشان ندادند اما رگرسور  $X_1X_3$  به دلیل اثر آن در بهبود توان مدل در پیش‌بینی متغیر پاسخ حفظ شد. از رگرسورهای توان دوم فقط  $X_2$  و  $X_3$  اثر معنی‌دار نشان دادند. در متغیر پاسخ شاخص سفیدی همه رگرسورهای اصلی به غیر از  $X_2$

تجزیه و تحلیل آماری: تجزیه و تحلیل آماری داده‌ها با استفاده از نرم‌افزار SPSS (نسخه ۲۶) انجام شد. داده‌ها ابتدا با استفاده از آنالیز واریانس یک‌طرفه مورد ارزیابی قرار گرفتند و برای مقایسه میانگین نمونه‌ها از آزمون چند دامنه‌ای دانکن در سطح اطمینان ۹۵ درصد استفاده شد.

## نتایج و بحث

برازش مدل درجه دوم و تحلیل واریانس: این مرحله باهدف بهینه‌سازی فرآیند تغییر pH قلیایی کمک شده با تکنیک التراسونیک صورت گرفت. در مجموع ۳۰ حالت مختلف آزمایشی به صورت عملی انجام شد و نتایج به دست آمده برای درصد بازدهی استخراج کل و شاخص سفیدی در نرم‌افزار وارد شد.

نتایج آنالیز واریانس مدل و رگرسورها و هم‌چنین شاخص‌های توان و بستگی مدل شامل  $R^2$ ، Predicted  $R^2$  و Adjusted  $R^2$  در جدول ۱ ارائه شده است. توانایی مدل‌ها در پیش‌بینی داده‌های پاسخ، میزان خطا در پیشگویی هر پاسخ و هم‌چنین شاخص‌های RMSE و MSE در شکل ۱ a و b ارائه شده است. با توجه به نتایج؛ توابع مدل برازش شده برای هر دو ویژگی پاسخ p-value بسیار پایین ( $p < 0.0001$ ) ارائه کردند که نشان‌دهنده معنی‌داری مدل در سطح ۹۹ درصد است. شاخص Lack of fit برای هر دو مدل معنی‌دار نبود. میزان خطا (اختلاف داده‌های واقعی از پیش‌بینی شده) در درصد بازدهی کل کم‌تر بود و همین امر سبب شد این متغیر شاخص MSE کم‌تری از شاخص سفیدی ارائه دهد. سه شاخص  $R^2$ ، Predicted  $R^2$  و Adjusted  $R^2$  در جدول ۱ a و b ارائه شده اند.

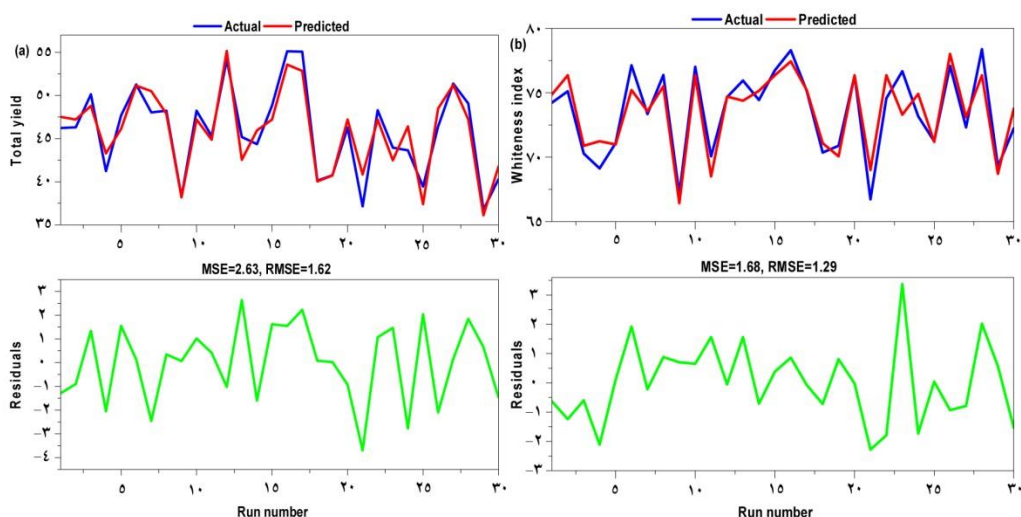
معنی دار). عبارات درجه دوم برای این متغیر پاسخ در تمامی موارد در مدل حفظ شدند اما  $X_3$  فاقد اثربخشی معنی دار بود.

اثر معنی دار ارائه کردند. در حالت برهمکنش دو رگرسور  $X_3X_4$  و  $X_1X_3$  در مدل حفظ شدند (به ترتیب رگرسور اول فاقد اثر معنی دار و دومی

جدول ۱- نتایج حاصل از آنالیز واریانس برای بهترین مدل‌های برازش درصد بازدهی کل و شاخص سفیدی و همچنین شاخص‌های توان و بستندگی مدل.

شاخص سفیدی		بازدهی کل		منبع	رگرسور / مدل
P-value*	F-value	P-value*	F-value		
< 0.0001*	9/88	< 0.0001*	26/45	مدل	
0.0292*	5/56	0.0365*	4/96		$X_1$
0.08355	0.04423	< 0.0001*	63/89		$X_2$
0.0132*	7/47	0.0006*	15/94		$X_3$
< 0.0001*	43/32	< 0.0001*	88/69		$X_4$
0.0961	3/06	0.1536	2/18		$X_1 X_3$
0.00038*	10/87				$X_3 X_4$
0.0397*	4/88				$X_1^2$
0.0002*	21/03	0.0371*	4/92	توان دوم	$X_2^2$
0.0963	3/06	0.0264*	5/67		$X_3^2$
0.0108*	7/98				$X_4^2$
0.3258	1/07	0.1322	2/77		Lack of Fit
0.8387		0.8938			$R^2$
0.7538		0.8600			Adj. $R^2$
0.5926		0.7947			Pred. $R^2$

\* معنی دار ( $P < 0.05$ )؛ غیرمعنی دار ( $P > 0.05$ )



شکل ۱- گراف‌های حاصل از ترسیم داده‌های واقعی در مقابل داده‌های پیش‌بینی شده توسط مدل رگرسیونی و خطاهای پیش‌بینی در هر نمونه برای متغیر پاسخ (a) درصد بازده کل و (b) شاخص سفیدی.

بنابراین انتقال جرم را افزایش می‌دهد که به طور منطقی سبب افزایش راندمان استخراج می‌شود (۳۱، ۳۰). pH ترسیب (ویژگی D) راندمان استخراج را عمیقاً تحت تأثیر قرار داد به نحوی که با حرکت در بازه ۴ تا ۶ راندمان استخراج افزایش حدوداً ۱۰ درصد نشان داد. در pH ایزوالکتریک در اثر برابر شدن بارهای روی پروتئین‌ها و فقدان دافعه الکترواستاتیک بین آمینواسیدهای باردار؛ پروتئین‌ها در تماس نزدیک‌تر با یکدیگر قرار می‌گیرند. این پروسه برهمکنش‌های هیدروفوب و در نتیجه تجمع و کاهش حلالیت پروتئین‌ها را سبب می‌شود (۳۲). بهترین pH برای ترسیب پروتئین‌ها بسته نوع گونه، ماهیت پروتئین‌ها و حالت کنفورماسیونی آن‌ها متفاوت است pH و بنابراین فرآیند بهینه‌سازی جهت یافتن این خاص مفید است. نحوه اثر متقابل دو متغیر نسبت مایع به جامد (X<sub>1</sub>) با توان التراسونیک (X<sub>3</sub>) (شکل ۲b) از اثر تکی آن‌ها پیروی کرد به نحوی که با افزایش توان تا حدود ۳۰۰ و نسبت مایع به جامد تا ۸ بالاترین مقدار راندمان به دست آمد.

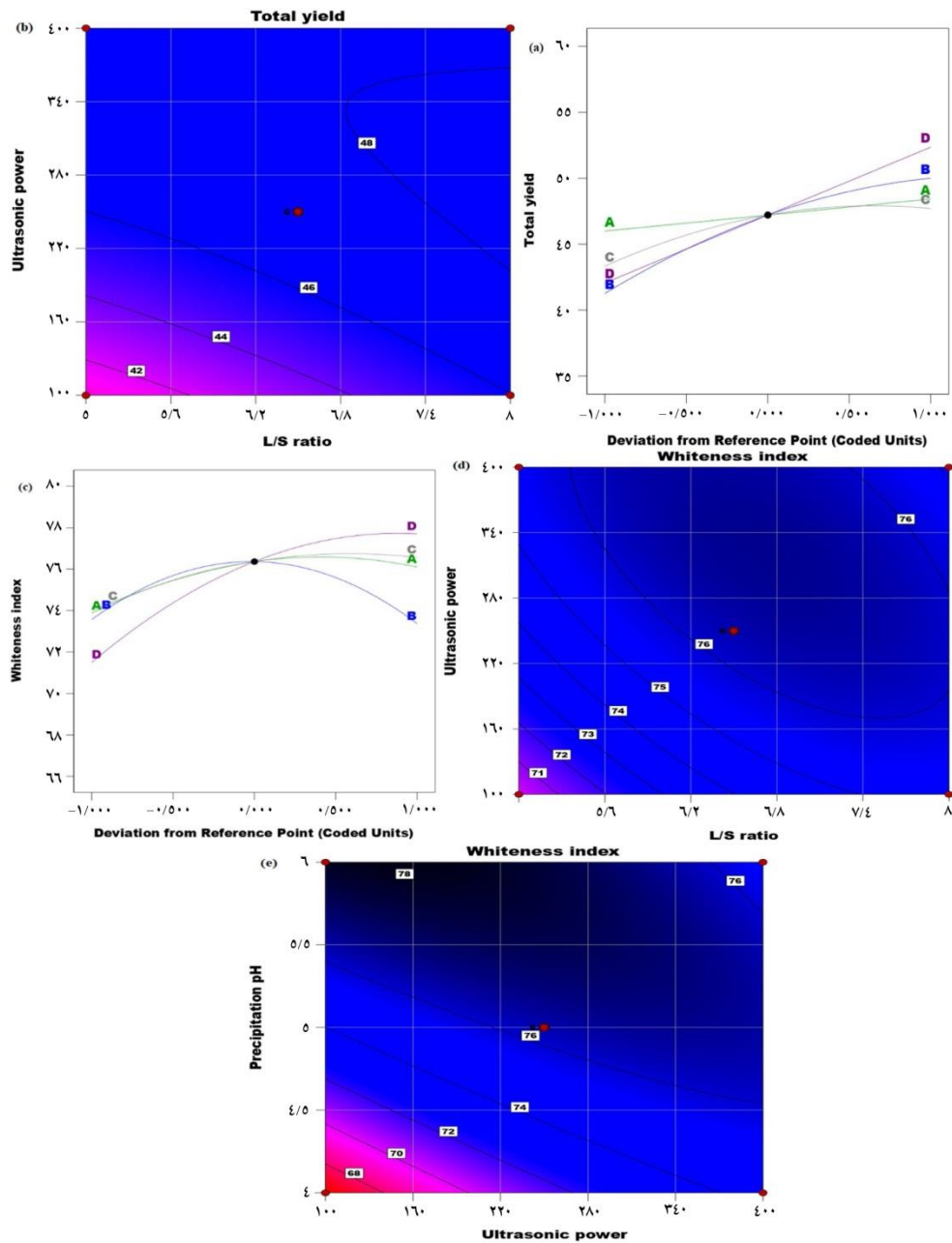
در تصویر متعلق به اثر تکی متغیرهای مستقل بر شاخص سفیدی (شکل ۲c)؛ همان‌طور که مشاهده می‌شود ارتقا متغیر مایع به جامد از ۵ تا ۷ سبب بهبود این شاخص شد اما در ادامه بازه این شاخص ثابت ماند. افزایش pH انحلال از ۱۰/۵ تا ۱۱/۵ سبب بهبود شاخص سفیدی شد اما در ادامه و تا pH ۱۲/۵ روند متغیر پاسخ نزولی شد. با بیشتر شدن توان دستگاه (تا حدود ۳۰۰) نیز شاخص سفیدی بیشتر شد. متغیر pH ترسیب نیز با شاخص سفیدی رابطه مثبت معنی‌دار نشان داد به گونه‌ای که با افزایش pH از ۴ به ۶ مقدار سفیدی ارتقا پیدا کرد. دلیل این اختلافات را می‌توان به عواملی مثل اختلاف در نوع رنگدانه‌های

آنالیز روابط مابین متغیرهای مستقل و پاسخ: به منظور درک بهتر اثرات اصلی و برهمکنش متغیرهای مستقل (نسبت مایع به جامد، pH انحلال، توان اولتراسونیک، pH ترسیب) بر راندمان استخراج و شاخص سفیدی؛ نمودارهای نشان‌دهنده اثر تکی رگرسورهای اصلی و همچنین نمودارهای کانتور رگرسورهای برهمکنش لحاظ شده در مدل توسط Design-Expert11 ترسیم و در شکل ۲ ارائه شده است.

در تصویر نشان‌دهنده اثر تک‌تک متغیرهای مستقل بر درصد بازدهی کل (شکل ۲a)؛ با افزایش نسبت مایع به جامد (ویژگی A) از ۶ تا ۸ میزان بازدهی کل با یک شیب ملایم و در حدود ۳ درصد افزایش نشان داد. حفظ ویسکوزیته مناسب در حلal استخراج کننده در طول فرآیند استخراج ضروری است (۲۸). بنابراین می‌توان گفت نسبت ۸ میلی‌لیتر بر گرم به نحوی شرایط مناسب‌تر را در این زمینه فراهم کرده است. افزایش pH انحلال (ویژگی B) از ۱۰/۵ به ۱۲/۵ نیز سبب بهبود راندمان استخراج تا حدود ۹ درصد شد. افزایش حلالیت در pHهای بالا مربوط به افزایش بارهای منفی پروتئین‌های عضله است که سبب ایجاد دافعه الکترواستاتیک بین مولکول‌های پروتئین؛ واکنش بهتر آن‌ها با آب و متعاقباً سبب افزایش مقدار حلالیت و متعاقباً بازدهی می‌شود (۲۹). بیشترین میزان اثربخشی توان التراسونیک (ویژگی C) در بازه ۱۰۰ تا ۳۰۰ مشاهده شد که سبب بهبود حدوداً ۴ درصدی بازده کل شد اما بعد از ۳۰۰ وات راندمان استخراج ثابت ماند. امواج اولتراسونیک با ایجاد شدت کاویتاسیون بالا، جریان‌دهی و میکروجت، منجر به تخریب بافت مواد تحت تیمار می‌شوند. این پدیده نفوذ حلal را به توده تحت تیمار تسهیل کرده و

نمودارهای کانتور نشان‌دهنده اثرات متقابل نسبت مایع به جامد ( $X_1$ ) با توان التراسونیک ( $X_3$ ) (شکل ۲ d) و همچنین توان التراسونیک ( $X_3$ ) با pH ترسیب ( $X_4$ ) (شکل ۲ e) تقریباً همان حالت ذکر شده برای اثرات تکی را نشان دادند.

موجود و محتوای آن‌ها، شرایط شیمیایی رنگدانه (مثل اکسیداسیون رنگدانه‌های هم) و خواص عملکردی مثل طرفیت نگهداری آب نسبت داد. این اختلافات قاعده‌تاً تحت تأثیر استراتژی‌های به کار گرفته شده برای استخراج پروتئین‌ها ایجاد شدند. روند تغییرات در



شکل ۲- نمودارهای نشان‌دهنده اثر متغیرهای مستقل به شکل تک شامل نسبت مایع به جامد (A)، توان اتحال (B)، توان دستگاه التراسونیک (C) و pH ترسیب (D) و نمودارهای کانتور رگرسورهای برهمکنش حفظ شده در مدل بر متغیرهای پاسخ درصد بازدهی کل (a) و (b) و شاخص سفیدی (c) تا (e).

روش استفاده شده برای استخراج بستگی دارد (۳۳). استخراج کلازن عموماً به دلیل حلالیت پایین این پروتئین ناشی از برهمکنش‌های ایجاد شده بین آلفاکائیدها و لایزین و هیدروکسی لایزین در جایگاه‌های سه‌گانه تلوپتید ساختار کلازن دشوار است (۳۴). استفاده از آنزیم در فرآیند استخراج و یا تولید کلازن هیدرولیز شده می‌تواند در اثر شکست آنزیمی برهمکنش‌های مولکولی بر بازدهی اثر مثبت داشته باشد. عبدالهی و همکاران درصد بازدهی استخراج کلازن هیدرولیز شده با پیسین را  $15/1$  درصد گزارش کردند (۲۵). علت اختلاف در نتایج و کمتر بودن بازدهی در پژوهش حاضر را احتمالاً باید در ماهیت متفاوت مواد تحت تیمار و واکنش متفاوت آن‌ها به آنزیم پیسین جست و جو کرد. با ذکر این دو دلیل که احتمالاً محتوای بافت پیوندی در ضایعات فرآیند تغییر pH فانوس‌ماهی کمتر بوده است و یا این‌که پیسین در شکست باندهای پیتیدی و آزادسازی گروه‌های آب‌دوست کربوکسیل و آمید موجود در ساختار کلازن ضعیف عمل کرده است.

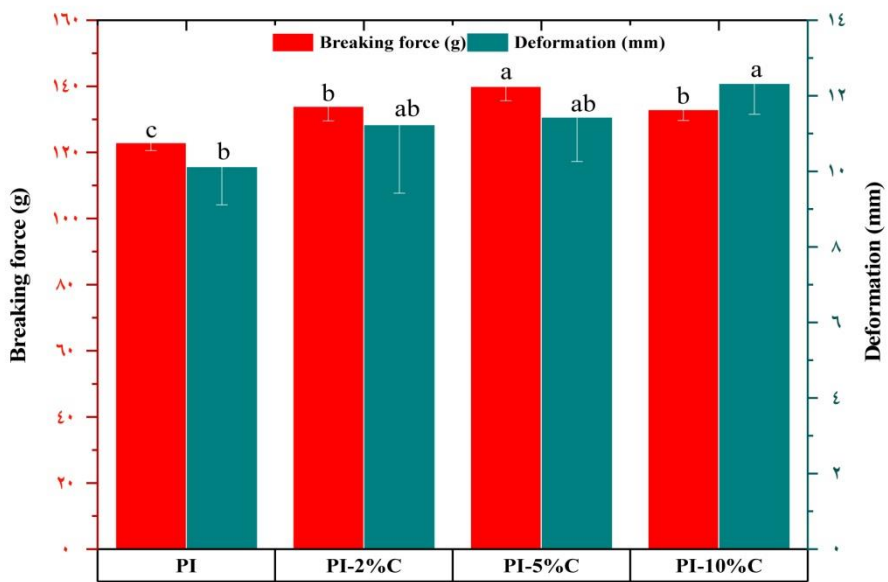
**ارزیابی بافت ژل:** تأثیر کلازن هیدرولیز شده بر ویژگی‌های بافتی ژل مطابق با نتایج ارائه شده در شکل ۳ می‌باشد. ژل یک سیستم دیسپرسیونی است که در آن مولکول‌ها تحت شرایط خاص ایجاد برهمکنش کرده و تشکیل شبکه می‌دهند. پروتئین‌ها عامل اصلی تشکیل ژل در سیستم‌های غذایی هستند و بنابراین توانایی تشکیل ژل آن‌ها بر کیفیت نهایی فرآورده غذایی تأثیر اساسی دارد (۳۵). ژل حاصل از پروتئین ایزوله نیروی شکست و تغییر شکل را به ترتیب در حدود  $123\text{ g}$  و  $10/12\text{ میلی‌متر}$  ارائه کرد. افزودن کلازن هیدرولیز شده تا سطح ۵ درصد سبب بهبود نیروی شکست ژل شد اما پس از آن و در سطح  $10\text{ درصد}$  این شاخص کاهش نشان داد ( $P<0.05$ ). نیروی شکست در واقع بیان‌کننده میزان مقاومت

بهینه‌سازی نهایی و تأیید مدل: پس از ورود داده‌های پاسخ به ماتریس طراحی آزمایش و انجام تجزیه و تحلیل، نوبت به مرحله بهینه‌سازی نهایی به منظور تعیین شرایط بهینه استخراج، پیش‌بینی متغیر پاسخ و مقایسه آن با مقدار واقعی رسید. بر این اساس معیارهای موردنظر برای تمامی پارامترهای مستقل و وابسته تعیین و سپس بهینه‌سازی انجام شد. نحوه تعیین معیارها؛ بسته به اهداف پژوهش و اهمیت هر پارامتر و همچنین دیدگاه پژوهش‌گران مختلف است. در این پژوهش هدف این بود در عین بیشینه کردن درصد بازدهی و میزان سفیدی محصول، در مصرف آب و میزان مواد شیمیایی تا حد امکان صرفه‌جویی کرد. بنابراین درصد مایع به جامد در حالت بین  $5$  تا  $6$  و  $pH$  حلالیت بین  $10/5$  تا  $11/5$  تنظیم شد. دو متغیر توان التراسونیک و pH ترسیب در رنج اولیه حفظ شدند. دو متغیر درصد بازدهی کل و شاخص سفیدی نیز در حالت ماکریسم تنظیم شدند. استراتژی انتخاب شده با این ویژگی‌ها،  $6$  میلی‌لیتر بر گرم، pH انحلال  $11/5$ ، و  $310$  وات؛ و pH ترسیب  $5/8$  و با مطابقت  $0/84$ ؛ بازدهی بیشینه را  $53$  درصد و شاخص سفیدی  $76/81$  ارائه کرد. در آزمایش‌های عملی برای تأیید بسنندگی مدل، ایزوله پروتئین طبق شرایط بهینه تعیین شده و با سه تکرار استخراج شد و بازده حدوداً  $54\pm1/47$  درصد و شاخص سفیدی  $74/39\pm2/12$  محاسبه شد.

**مشخصات کلازن هیدرولیز شده:** کلازن هیدرولیز شده از باقی‌ماندهای مرحله اول سانتریوفیوژ تهیه شد. درجه هیدرولیز محاسبه شده برای این کلازن در حدود  $16/63\pm0/8$  درصد بود. مقدار بازدهی کلازن هیدرولیز شده  $8/43\pm1/01$  درصد بر مبنای وزن خشک به دست آمد. درصد بازدهی استخراج کلازن به عوامل متعددی مثل نوع گونه استفاده شده و ماهیت ساختاری بافت پیوندی آن، شرایط بیولوژیکی بافت و

تولیدی از سوریمی اثر منفی داشتند. عبدالهی و همکاران (۲۵) پس از بررسی اثر کلاژن هیدرولیز شده با پیپسین و پیپسین-تریپسین بر ژل تولیدشده از ایزووله پروتئین قلیابی ماهی فیتوفاگ بیان نمودند نوع اول کلاژن بر نیروی شکست اثر معنی‌دار نداشت و نوع دوم کلاژن سبب کاهش نیروی شکست شد. در این رابطه اثبات شد هیدرولیز دو مرحله‌ای سبب تولید پیتیدهایی با وزن مولکولی پایین‌تر به نسبت فرآیند تک مرحله‌ای می‌شود. بنابراین استدلال شد این پدیده سبب در معرض قرارگیری بیش‌تر گروه‌های باردار و آب‌دوست شده و احتمالاً این گروه‌ها طی فرآیند تشکیل ژل حرارتی بر آرایش شبکه ژل از طریق واکنش با جایگاه‌های فعال اکتورمیوزین و یا اختلال در جایگیری مناسب آب در سیستم ژل از طریق واکش با آب و از دسترس خارج کردن نسبی آن اثر منفی گذاشته و مانع از تشکیل مناسب ژل شده‌اند. این نتایج البته با پژوهش حاضر تناقض داشت و علت آن را می‌توان در هیدرولیز شدن کم‌تر کلاژن طی فرآیند یک مرحله‌ای و ارائه استدلالی عکس آن‌چه بالا گفته شد توضیح داد. توضیح دیگر برای توجیه بهبود هم‌زمان نیروی شکست و تغییر شکل در ژل تولیدی از ایزووله فانوس‌ماهی را می‌توان به شکل‌گیری برهمکنش‌های بین مولکولی بین جایگاه‌های فعال کلاژن هم از نوع آب‌دوست و هم از نوع آب‌گریز با ایزووله پروتئین و کمک به تشکیل شبکه و به دام‌اندازی آب توضیح داد. این پدیده در آنالیز ظرفیت نگهداری آب در ژل نیز به خوبی مشهود بود به‌طوری‌که کلاژن تا سطح ده درصد سبب افزایش حدود ۱۵ درصدی ظرفیت نگهداری آب شد. پیش از این نشان داده شده است که پیتیدهای حاصل از هیدرولیز پروتئین آبزیان می‌توانند بر نحوه قرارگیری مولکول‌های آب در اطراف پروتئین‌های میوفیبریلی و ثبات حرارتی آن‌ها مؤثر باشند (۳۸).

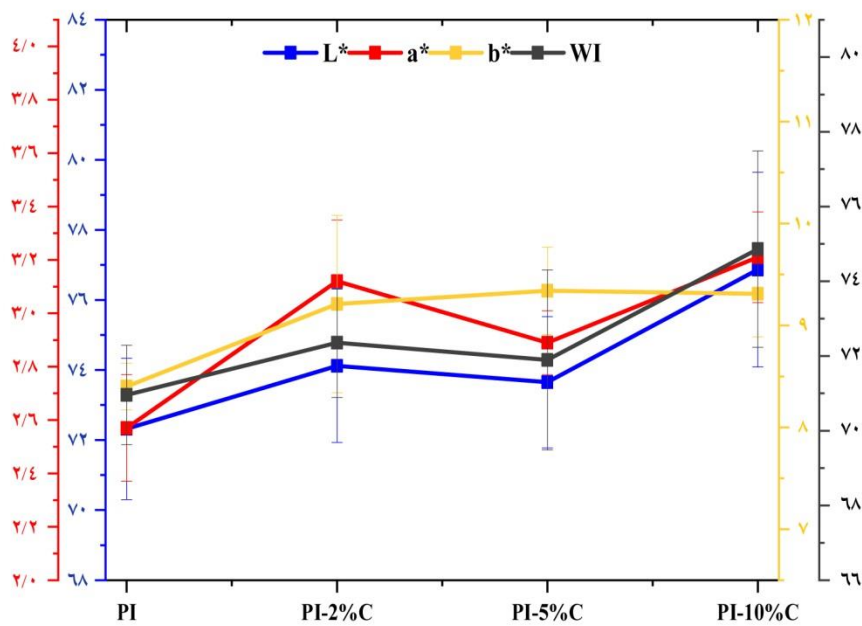
مکانیکی ژل است (حداکثر نیرویی که ژل در لحظه شکست تحمل می‌کند) و این روند داده‌ها نشان می‌دهد کلاژن هیدرولیز شده سبب بهبود استحکام ژل تا سطح ۵ درصد (وزنی/وزنی) شده و پس از آن روند استحکام نزولی شد ( $P<0.05$ ). هرچند لازم به ذکر است در سطح ۱۰ درصد نیز این شاخص نسبت به نمونه شاهد بالاتر بود ( $P<0.05$ ). تغییر شکل نشان‌دهنده قابلیت فشرده‌گی ژل قبل از از هم گسیختن است و به نوعی قابلیت ارجاعی و کشسانی ژل را نشان می‌دهد. این شاخص با افزودن کلاژن به طور کلی افزایش نشان داد و بالاترین مقدار آن در نمونه ژل حاوی ۱۰ درصد کلاژن مشاهده شد ( $P<0.05$ ). مفروض است که انحلال قلیابی پروتئین‌ها و سپس رسوب آن‌ها در pH ایزوالتکریک سبب تغییرات کنفورماتیونی حاصل متنج به بازشدن جزئی پروتئین‌ها می‌شود. این بازشدگی سبب در معرض قرارگیری اسیدهای آمینه خاص مخفی شده در درون مولکول به خصوص گلوتامین و لایزین می‌شود. این تغییرات سبب افزایش محتوای گروه‌های سولفیدریل و واکنشگر و هیدروفوپویسیته سطحی پروتئین‌ها شده و بنابراین سبب می‌شوند گروه‌ها فعال بیش‌تری برای ایجاد برهمکنش‌های بین مولکولی با پروتئین‌های هیدرولیز شده در دسترس باشند (۳۶). این فعل و افعالات می‌توانند در بهبود کیفیت ژل اثر مثبت داشته باشند. لو و همکاران (۳۷) بیان کردند پروتئین هیدرولیز جداده ازفلس ماهی فیوفاگ (نمونه هیدرولیز شده با فلاورزایم) سبب افزایش تغییر شکل و استحکام ژل تولیدی از سوریمی شد. مکانیسم اثر پروتئین‌های هیدرولیز شده در این کار به افزایش برهمکنش‌های پروتئین-پروتئین شکل گرفته در اثر حضور پروتئین‌های هیدرولیز شده و بنابراین تشکیل شبکه ژل قوی‌تر نسبت داده شد. در این رابطه اما پروتئین‌های هیدرولیز شده با آلکالاز بر کیفیت ژل



شکل ۳- اثر کلاژن هیدرولیز شده با پیسین بر نیروی شکست و مقدار تغییر شکل ژلهای حاصل از ایزوله پروتئین (PI) و ایزوله پروتئین حاوی ۲٪ (PI-2%C)، ۵٪ (PI-5%C) و ۱۰٪ (PI-10%C) درصد کلاژن هیدرولیز شده.  
حروف متفاوت روی ستون‌ها نشان‌دهنده اختلاف معنی‌دار است ( $P < 0.05$ ).

ارتباط با نتایج پژوهش حاضر؛ یک عامل بهبود شاخص  $L^*$  و  $WI$  احتمالاً رنگ کلاژن بهخصوص پس از هیدارته شدن بود که از شاخص سفیدی ۸۶/۳۴ برخوردار بود. در واقع همین عامل بود که سبب شد با افزوده شدن درصد کلاژن موجود در ژل شاخص سفیدی بهبود یابد. عبدالهی و همکاران یکی از دلایل بهبود شاخص سفیدی ژل تولیدی از پروتئین را به رنگ مناسب افزودنی ترانس گلوتامیناز میکروبی نسبت دادند (۳۶). افزایش ظرفیت نگهداری آب در ژل توسط کلاژن و توزیع مناسب آن در همه جهات و بهویژه در سطح ژل می‌تواند عامل دیگری در بهبود رنگ ژل باشد (۳۹). آب رها شده در سطح ژل درجه پراکنش نور را افزایش می‌دهد (۴۰). این پدیده می‌تواند در اثر برهمکنش‌های شکل گرفته در بستر ژل تعقیت شده و پیامد آن در بهبود شاخص  $L^*$  ژل تولیدی قابل مشاهده است (۳۶).

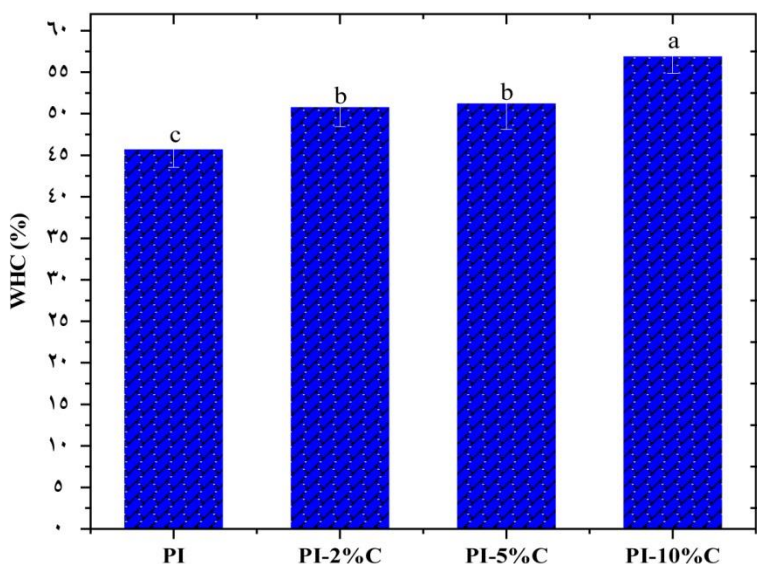
ارزیابی ویژگی‌های رنگ ژل: تغییرات شاخص‌های رنگ ژلهای تولیدی شامل  $L^*$ ،  $a^*$ ،  $b^*$  و  $WI$  در شکل ۴ ارائه شده است. شاخص  $L^*$  با افزودن کلاژن تا سطح ۵ درصد (وزنی/وزنی) تغییر معنی‌داری نشان نداد اما در سطح ۱۰ درصد (وزنی/وزنی) این شاخص بهبود یافت ( $P < 0.05$ ). شاخص سفیدی نیز همین روند را طی کرد و بالاترین شاخص سفیدی در نمونه حاوی ۱۰ درصد کلاژن هیدرولیز شده مشاهده شد. این نتایج با مشاهدات عبدالهی و همکاران (۲۵) مطابقت داشت. آن‌ها مشاهده کردند کلاژن هیدرولیز شده با پیسین سبب بهبود شاخص سفیدی در ژل شد اما کلاژن هیدرولیز شده پیسین- تریپسین این شاخص را به شکل معنی‌داری کاهش داد. لو و همکاران (۳۷) گزارش کردند افزودن پروتئین هیدرولیز شده جدا شده از فلس ماهی (نمونه هیدرولیز شده با فلاوروژایم) موجب بهبود سفیدی ژل سوریمی فیتوفاج شد. در



شکل ۴- اثر کلاژن هیدرولیز شده با پیپسین بر ویژگی های رنگ ژلهای حاصل از ایزوله پروتئین (PI) و ایزوله پروتئین حاوی ۲ (PI-2%C)، ۵ (PI-5%C) و ۱۰ (PI-10%C) درصد کلاژن هیدرولیز شده.

گروههای باردار و آبدوست به مراتب بیشتر به نسبت پروتئین اولیه در دسترس برای واکنش با آب باشد. بنابراین این پیتیدها با واکنش هم‌زمان با آب و از طرفی کمک به تشکیل شبکه ژل پایدارتر می‌توانند سبب بهبود ظرفیت نگهداری آب در ژل شوند (۴۱). این پدیده به نوعی در آنالیز بافت ژل و اثر مثبت کلاژن هیدرولیز شده بر نیروی شکست ژل مشاهده شد. در واقع تشکیل تعداد مناسبی از برهمنکش‌های بین/درون مولکولی منجر به تشکیل شبکه قوی‌تر و با قابلیت به داماندازی آب بیشتر شده و آب آزاد قابل ترشح طی آنالیز WHC را کاهش می‌دهد (۳۵ و ۳۶). عبدالهی و همکاران (۲۵) در این رابطه گزارش کردن کلاژن هیدرولیز شده پیپسین - تریپسین افزوده شده به ژل حاصل از ایزوله پروتئین قلیایی فیتوفاگ سبب بهبود ظرفیت نگهداری ژل حاصل از آن شد که با نتایج پژوهش حاضر مطابقت داشت.

آنالیز ظرفیت نگهداری آب: ظرفیت نگهداری آب (WHC) یک شاخص برای سنجش توانایی ژل در ایجاد پیوند با آب است و یک پارامتر مهم در ارزیابی کیفیت ژل محسوب می‌شود. ژلهای با WHC بالاتر برای کاربرد در سیستم‌های غذایی بر پایه ژل مطلوب‌تر می‌باشند (۳۵). نتایج حاصل از بررسی ظرفیت نگهداری آب ژلهای مختلف در شکل ۵ ارائه شده است. همان‌طورکه ملاحظه می‌شود ظرفیت نگهداری آب در ژل حاصل از پروتئین در سطح نسبتاً پایینی مشاهده شد. افزودن کلاژن هیدرولیز شده در سطح ۲ و ۵ درصد (وزنی/وزنی) سبب افزایش اندکی در این شاخص شد ( $P < 0.05$ ). بالاترین مقدار ظرفیت نگهداری آب در نمونه ژل حاوی ۱۰ درصد کلاژن هیدرولیز شده مشاهده شد که نشان‌دهنده توانایی بیشتر این ژل در ایجاد پیوند با مولکول‌های آب است. هیدرولیز کلاژن موجب تولید پیتیدهای کوتاه زنجیر می‌شود. این فرآیند سبب می‌شود



شکل ۵- اثر کلاژن هیدرولیز شده با پیسین بر ظرفیت نگهداری آب ژل های حاصل از ایزوله پروتئین (PI) و ایزوله پروتئین حاوی ۲٪ (PI-2%C)، ۵٪ (PI-5%C) و ۱۰٪ (PI-10%C) درصد کلاژن هیدرولیز شده.  
حروف متفاوت روی ستون ها نشان دهنده اختلاف معنی دار است ( $P < 0.05$ ).

حرارتی استفاده شد. افزودن کلاژن هیدرولیز شده سبب بهبود نیروی شکست و مقدار تغییر شکل ژل شد. حضور کلاژن هیدرولیز شده همچنین بر ویژگی های رنگ و به خصوص شاخص سفیدی و ظرفیت نگهداری آب در ژل ها اثر مثبت داشت. بنابراین استفاده هم زمان از تکنیک های بهینه سازی و رویکرد بیوریفایرنری می تواند بر بهبود بازدهی کلی فرآیند باهدف تولید عناصر غذایی تشکیل دهنده ژل اثربخش بوده و می تواند گامی مثبت در جهت حرکت به سمت scale-up کردن فرآیند باشد.

### نتیجه گیری کلی

در این پژوهش از فرآیند تغییر pH قلیایی کمک شده با التراسونیک بهینه سازی شده به منظور بیشینه کردن درصد بازدهی استخراج و شاخص سفیدی پروتئین های عضله فانوس ماهی گونه بتتوسوما پتروتوم استفاده شد. استراتژی بهینه انتخاب شده با مشخصات بدین شرح؛ نسبت حلال به جامد  $g^{-1} ml^{-1}$  pH ۱۱/۵، توان التراسونیک W ۳۱۰ و ترسیب ۵/۸ و با مطلوبیت ۸۴/۰؛ بازدهی ۵۳ درصد و شاخص سفیدی ۷۶/۸۱ را ارائه کرد. از این پروتئین در ترکیب با کلاژن هیدرولیز شده در تهیه ژل های

### منابع

- Wiech, M., Silva, M., Meier, S., Tibon, J., Berntssen, M. H. G., Duinker, A., & Sanden, M. (2020). Undesirables in mesopelagic species and implications for food and feed safety insights from norwegian fjords. *Foods*, 9 (9).
- Nordhagen, A., Rizwan, A. A. M., Aakre, I., Reksten, A. M., Pincus, L. M., Bøkevoll, A., Mamun, A., Thilsted, S. H., Htut, T., Somasundaram, T., & Kjellevold, M. (2020). Nutrient composition of demersal, pelagic, and mesopelagic fish species sampled off the coast of bangladesh and their potential contribution to food and nutrition security-The EAF-nansen programme. *Foods*, 9 (6).

3. Alvheim, A. R., Kjellevold, M., Strand, E., Sanden, M., & Wiech, M. (2020). Mesopelagic species and their potential contribution to food and feed security-a case study from Norway. *Foods*, 9 (3).
4. Abdollahi, M., Marmon, S., Chaijan, M., & Undeland, I. (2016). Tuning the pH-shift protein-isolation method for maximum hemoglobin-removal from blood rich fish muscle. *Food Chemistry*, 212, 213-224.
5. Shaviklo, A. R. (2020). A Comprehensive Review on Animal Feed, Human Food and Industrial Application of Lanternfishes; from Prototypes to Products. *Turkish Journal of Fisheries and Aquatic Sciences*, 20 (11), 827-843.
6. Shaviklo, A. R., & Rafipour, F. (2013). Surimi and surimi seafood from whole ungutted myctophid mince. *LWT - Food Science and Technology*, 54 (2), 463-468.
7. Chai, H. J., Chan, Y. L., Li, T. L., Shiau, C. Y., & Wu, C. J. (2013). Evaluation of lanternfish (*Benthosema pterotum*) hydrolysates as antioxidants against hydrogen peroxide induced oxidative injury. *Food Research International*, 54 (2), 1409-1418.
8. Chai, H. J., Chan, Y. L., Li, T. L., Chen, Y. C., Wu, C. H., Shiau, C. Y., & Wu, C. J. (2012). Composition characterization of Myctophids (*Benthosema pterotum*): Antioxidation and safety evaluations for Myctophids protein hydrolysates. *Food Research International*, 46 (1), 118-126.
9. Hayes, M., Mora, L., Hussey, K., & Aluko, R. E. (2016). Boarfish protein recovery using the pH-shift process and generation of protein hydrolysates with ACE-I and antihypertensive bioactivities in spontaneously hypertensive rats. *Innovative Food Science & Emerging Technologies*, 37 (Part B), 253-260.
10. Kakko, T., Aitta, E., Laaksonen, O., Tolvanen, P., Jokela, L., Salmi, T., Damerau, A., & Yang, B. (2022). Baltic herring (*Clupea harengus membras*) protein isolate produced using the pH-shift process and its application in food models. *Food Research International*, 158 (April), 111578.
11. Nisov, A., Kakko, T., Alakomi, H. L., Lantto, R., & Honkapää, K. (2022). Comparison of enzymatic and pH shift methods to extract protein from whole Baltic herring (*Clupea harengus membras*) and roach (*Rutilus rutilus*). *Food Chemistry*, 373 (November 2021).
12. Abdollahi, M., Rezaei, M., Jafarpour, A., & Undeland, I. (2017). Dynamic rheological, microstructural and physicochemical properties of blend fish protein recovered from kilka (*Clupeonella cultriventris*) and silver carp (*Hypophthalmichthys molitrix*) by the pH-shift process or washing-based technology. *Food Chemistry*, 229, 695-709.
13. Pezeshk, S., Rezaei, M., Hosseini, H., & Abdollahi, M. (2021). Impact of pH-shift processing combined with ultrasonication on structural and functional properties of proteins isolated from rainbow trout by-products. *Food Hydrocolloids*, 118 (December 2020), 106768.
14. van Berlo, E., Undeland, I., & Abdollahi, M. (2023). Physicochemical and functional properties of protein isolated from herring co-products; effects of catching season, pre-sorting, and co-product combination. *Food Chemistry*, 398 (August 2022), 133947.
15. Abdollahi, M., & Undeland, I. (2018). Structural, functional, and sensorial properties of protein isolate produced from salmon, cod, and herring by-products. *Food and Bioprocess Technology*, 11 (9), 1733-1749.
16. Zhang, J., Ström, A., Bordes, R., Alminger, M., Undeland, I., & Abdollahi, M. (2023). Radial discharge high shear homogenization and ultrasonication assisted pH-shift processing of herring co-products with antioxidant-rich materials for maximum protein yield and functionality. *Food Chemistry*, 400 (August 2022).
17. Yoon, I. S., Lee, H. J., Kang, S. I., Park, S. Y., Kang, Y. M., Kim, J. S., & Heu, M. S. (2019). Food functionality of protein isolates extracted from Yellowfin Tuna (*Thunnus albacares*)

- roe using alkaline solubilization and acid precipitation process. *Food Science and Nutrition*, 7 (2), 412-424.
18. Cha, J. W., Yoon, I. S., Lee, G. W., Kang, S. I., Park, S. Y., Kim, J. S., & Heu, M. S. (2020). Food functionalities and bioactivities of protein isolates recovered from skipjack tuna roe by isoelectric solubilization and precipitation. *Food Science and Nutrition*, 8 (4), 1874-1887.
19. Leong, Y. K., Yang, F. C., & Chang, J. S. (2021). Extraction of polysaccharides from edible mushrooms: Emerging technologies and recent advances. In *Carbohydrate Polymers* (Vol. 251).
20. Ummat, V., Sivagnanam, S. P., Rajauria, G., O'Donnell, C., & Tiwari, B. K. (2021). Advances in pre-treatment techniques and green extraction technologies for bioactives from seaweeds. *Trends in Food Science and Technology*, 110 (September 2020), 90-106.
21. Nguyen, T. T., Luo, X., Su, P., Balakrishnan, B., & Zhang, W. (2020). Highly efficient recovery of nutritional proteins from Australian Rock Lobster heads (*Jasus edwardsii*) by integrating ultrasonic extraction and chitosan co-precipitation. *Innovative Food Science and Emerging Technologies*, 60 (January), 102308.
22. Bezerra, M. A., Santelli, R. E., Oliveira, E. P., Villar, L. S., & Escaleira, L. A. (2008). Response surface methodology (RSM) as a tool for optimization in analytical chemistry. *Talanta*, 76 (5), 965-977.
23. Chen, W., Wang, W. P., Zhang, H. S., & Huang, Q. (2012). Optimization of ultrasonic-assisted extraction of water-soluble polysaccharides from *Boletus edulis* mycelia using response surface methodology. *Carbohydrate Polymers*, 87 (1), 614-619.
24. Undeland, I., Kelleher, S. D., & Hultin, H. O. (2002). Recovery of functional proteins from herring (*Clupea harengus*) light muscle by an acid or alkaline solubilization process. *Journal of Agricultural and Food Chemistry*, 50 (25), 7371-7379.
25. Abdollahi, M., Rezaei, M., Jafarpour, A., & Undeland, I. (2018). Sequential extraction of gel-forming proteins, collagen and collagen hydrolysate from gutted silver carp (*Hypophthalmichthys molitrix*), a biorefinery approach. *Food Chemistry*, 242 (May 2017), 568-578.
26. Chaijan, M., Panpipat, W., & Benjakul, S. (2010). Physicochemical and gelling properties of short-bodied mackerel (*Rastrelliger brachysoma*) protein isolate prepared using alkaline-aided process. *Food and Bioproducts Processing*, 88 (2-3), 174-180.
27. Cardoso, C., Mendes, R., Vaz-Pires, P., & Nunes, M. L. (2010). Effect of salt and MTGase on the production of high quality gels from farmed sea bass. *Journal of Food Engineering*, 101 (1), 98-105.
28. Xu, Y., Zhang, L., Bailina, Y., Ge, Z., Ding, T., Ye, X., & Liu, D. (2014). Effects of ultrasound and/or heating on the extraction of pectin from grapefruit peel. *Journal of Food Engineering*, 126, 72-81.
29. Kristinsson, H. G., Theodore, A. E., Demir, N., & Ingadottir, B. (2006). A Comparative Study between Acid-and Alkali-aided Processing and Surimi Processing for the Recovery of Proteins from Channel Catfish Muscle. *Journal of Food Science*, 70 (4), 298-306.
30. Cravotto, G., & Binello, A. (2016). Low-Frequency, High-Power Ultrasound-Assisted Food Component Extraction. In *Innovative Food Processing Technologies: Extraction, Separation, Component Modification and Process Intensification*. Elsevier.
31. Bayar, N., Bouallegue, T., Achour, M., Kriaa, M., Bougatef, A., & Kammoun, R. (2017). Ultrasonic extraction of pectin from *Opuntia ficus indica* cladodes after mucilage removal: Optimization of experimental conditions and evaluation of chemical and functional properties. *Food Chemistry*, 235, 275-282.
32. Kristinsson, H. G., & Ingadottir, B. (2006). Recovery and Properties of Muscle Proteins Extracted from Tilapia

- (*Oreochromis niloticus*) Light Muscle by pH Shift Processing. *Journal of Food Science*, 71 (3), 132-141.
33. Pal, G. K., & Suresh, P. V. (2017). Comparative assessment of physico-chemical characteristics and fibril formation capacity of thermostable carp scales collagen. *Materials Science and Engineering: C*, 70, 32-40.
34. YU, D., CHI, C. F., WANG, B., DING, G. F., & LI, Z. R. (2014). Characterization of acid-and pepsin-soluble collagens from spines and skulls of skipjack tuna (*Katsuwonus pelamis*). *Chinese Journal of Natural Medicines*, 12 (9), 712-720.
35. Li, J., Wu, M., Wang, Y., Li, K., Du, J., & Bai, Y. (2020). Effect of pH-shifting treatment on structural and heat induced gel properties of peanut protein isolate. *Food Chemistry*, 325 (April), 126921.
36. Abdollahi, M., Rezaei, M., Jafarpour, A., & Undeland, I. (2019). Effect of microbial transglutaminase and setting condition on gel properties of blend fish protein isolate recovered by alkaline solubilisation/isolectric precipitation. *International Journal of Food Science and Technology*, 54 (3), 762-770.
37. Lu, H., Luo, Y., & Feng, L. (2014). Effects of Hydrolysates from Silver Carp (*Hypophthalmichthys molitrix*) Scales on Rancidity Stability and Gel Properties of Fish Products. *Food and Bioprocess Technology*, 7 (8), 2178-2188.
38. Nikoo, M., & Benjakul, S. (2015). Potential application of seafood-derived peptides as bifunctional ingredients, antioxidant–cryoprotectant: A review. *Journal of Functional Foods*, 19, 753-764.
39. Kudre, T., Benjakul, S., & Kishimura, H. (2013). Effects of protein isolates from black bean and mungbean on proteolysis and gel properties of surimi from sardine (*Sardinella albella*). *LWT - Food Science and Technology*, 50 (2), 511-518.
40. Tachasirinukun, P., Chaijan, M., & Riebroy, S. (2016). Effect of setting conditions on proteolysis and gelling properties of spotted featherback (*Chitala ornata*) muscle. *LWT - Food Science and Technology*, 66, 318-323.
41. Wang, L. L., & Xiong, Y. L. (2005). Inhibition of Lipid Oxidation in Cooked Beef Patties by Hydrolyzed Potato Protein Is Related to Its Reducing and Radical Scavenging Ability. *Journal of Agricultural and Food Chemistry*, 53 (23), 9186-9192.

